

**KLASIFIKASI KANKER KULIT PADA CITRA *DERMOSCOPY*  
MENGUNAKAN *GRAY LEVEL CO-OCCURRENCE MATRIX (GLCM)*  
DAN *KERNEL EXTREME LEARNING MACHINE (KELM)***

**SKRIPSI**



**UIN SUNAN AMPEL  
S U R A B A Y A**

Disusun Oleh  
**TRI MAR'ATI NUR UTAMI**  
**H72218034**

**PROGRAM STUDI MATEMATIKA  
FAKULTAS SAINS DAN TEKNOLOGI  
UNIVERSITAS ISLAM NEGERI SUNAN AMPEL  
SURABAYA**

**2022**

## PERNYATAAN KEASLIAN

Saya yang bertanda tangan di bawah ini,

Nama : TRI MAR'ATI NUR UTAMI

NIM : H72218034

Program Studi : Matematika

Angkatan : 2018

Menyatakan bahwa saya tidak melakukan plagiat dalam penulisan skripsi saya yang berjudul "KLASIFIKASI KANKER KULIT PADA CITRA *DERMOSCOPY* MENGGUNAKAN *GRAY LEVEL CO-OCCURRENCE MATRIX* (GLCM) DAN *KERNEL EXTREME LEARNING MACHINE* (KELM)". Apabila suatu saat nanti terbukti saya melakukan tindakan plagiat, maka saya bersedia menerima sanksi yang telah ditetapkan.

Demikian pernyataan keaslian ini saya buat dengan sebenar-benarnya.

Surabaya, 10 Januari 2022

Yang menyatakan,



TRI MAR'ATI NUR UTAMI  
NIM. H72218034

## LEMBAR PERSETUJUAN PEMBIMBING

Skripsi oleh

Nama : TRI MAR'ATI NUR UTAMI  
NIM : H72218034  
Judul Skripsi : *KLASIFIKASI KANKER KULIT PADA CITRA DERMOSCOPY MENGGUNAKAN GRAY LEVEL CO-OCCURRENCE MATRIX (GLCM) DAN KERNEL EXTREME LEARNING MACHINE (KELM)*

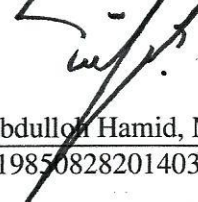
telah diperiksa dan disetujui untuk diujikan.

Pembimbing I



Dian Candra Rini Novitasari, M. Kom  
NIP. 198511242014032001

Pembimbing II



Dr. Abdulloh Hamid, M. Pd  
NIP. 198508282014031003

Mengetahui,  
Ketua Program Studi Matematika  
UIN Sunan Ampel Surabaya



Aris Fanani, M.Kom  
NIP. 198701272014031002

## PENGESAHAN TIM PENGUJI SKRIPSI

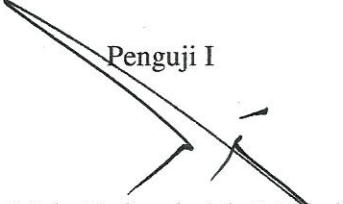
Skripsi oleh

Nama : TRI MAR'ATI NUR UTAMI  
NIM : H72218034  
Judul Skripsi : *KLASIFIKASI KANKER KULIT PADA CITRA DERMOSCOPY MENGGUNAKAN GRAY LEVEL CO-OCCURRENCE MATRIX (GLCM) DAN KERNEL EXTREME LEARNING MACHINE (KELM)*


Telah dipertahankan di depan Tim Penguji  
pada tanggal 13 Januari 2022

Mengesahkan,  
Tim Penguji


Penguji I

  
Dr. Moh. Hafiyusholeh, M.St., M.PMat  
NIP. 198002042014031001

Penguji II

  
Aris Fanani, M.Kom  
NIP. 198701272014031002

Penguji III


  
Dian Candra Rini Novitasari, M. Kom  
NIP. 198511242014032001

Penguji IV

  
Dr. Abdullah Hamid, M. Pd  
NIP. 198508282014031003

Mengetahui,

Dekan Fakultas Sains dan Teknologi  
UIN Sunan Ampel Surabaya

  
Prof. Dr. Hj. Evi Fatimatur Rusydiyah, M.Ag  
NIP. 197312272005012003





KEMENTERIAN AGAMA  
UNIVERSITAS ISLAM NEGERI SUNAN AMPEL SURABAYA  
PERPUSTAKAAN

Jl. Jend. A. Yani 117 Surabaya 60237 Telp. 031-8431972 Fax.031-8413300  
E-Mail: perpustakaan@uinsby.ac.id

LEMBAR PERNYATAAN PERSETUJUAN PUBLIKASI  
KARYA ILMIAH UNTUK KEPENTINGAN AKADEMIS

Sebagai sivitas akademika UIN Sunan Ampel Surabaya, yang bertanda tangan di bawah ini, saya:

Nama : TRI MAR'ATI NUR UTAMI  
NIM : 172218034  
Fakultas/Jurusan : SAINTEK / MATEMATIKA  
E-mail address : trimaratinurutamia2@gmail.com

Demi pengembangan ilmu pengetahuan, menyetujui untuk memberikan kepada Perpustakaan UIN Sunan Ampel Surabaya, Hak Bebas Royalti Non-Eksklusif atas karya ilmiah :

Skripsi  Tesis  Desertasi  Lain-lain (.....)  
yang berjudul :

KLASIFIKASI KANKER KULIT PADA CITRA DERMOSCOPY  
MENGUNAKAN GRAY LEVEL CO-OCCURRENCE MATRIX (GLCM)  
DAN KERNEL EXTREME LEARNING MACHINE (KELM)

beserta perangkat yang diperlukan (bila ada). Dengan Hak Bebas Royalti Non-Eksklusif ini Perpustakaan UIN Sunan Ampel Surabaya berhak menyimpan, mengalih-media/format-kan, mengelolanya dalam bentuk pangkalan data (database), mendistribusikannya, dan menampilkan/mempublikasikannya di Internet atau media lain secara *fulltext* untuk kepentingan akademis tanpa perlu meminta ijin dari saya selama tetap mencantumkan nama saya sebagai penulis/pencipta dan atau penerbit yang bersangkutan.

Saya bersedia untuk menanggung secara pribadi, tanpa melibatkan pihak Perpustakaan UIN Sunan Ampel Surabaya, segala bentuk tuntutan hukum yang timbul atas pelanggaran Hak Cipta dalam karya ilmiah saya ini.

Demikian pernyataan ini yang saya buat dengan sebenarnya.

Surabaya, 13 Januari 2022

Penulis

(Tri Mar'ati Nur Utami)











2.4. <i>Dermoscopy Image</i>	24
2.5. <i>Dull Razor Filtering</i>	25
2.6. <i>Gray Level Co-occurrence Matrix (GLCM)</i>	27
2.6.1. Energi	31
2.6.2. Korelasi	31
2.6.3. Kontras	32
2.6.4. Homogenitas	33
2.6.5. Entropi	33
2.7. <i>K-Fold Cross Validation</i>	34
2.8. <i>Machine Learning (ML)</i>	35
2.9. <i>Kernel Extreme Learning Machine (KELM)</i>	36
2.9.1. Tahapan <i>Training</i> KELM	40
2.9.2. Tahapan <i>Testing</i> KELM	42
2.9.3. Kernel	43
2.10. <i>Confusion Matrix</i>	43
2.11. Penyakit dalam Perspektif Islam	46
<b>III METODE PENELITIAN</b>	<b>51</b>
3.1. Jenis Penelitian	51
3.2. Jenis dan Sumber Data	51
3.3. Kerangka Penelitian	52
<b>IV HASIL DAN PEMBAHASAN</b>	<b>56</b>
4.1. Deskripsi Data	56
4.2. <i>Preprocessing</i>	58
4.2.1. <i>Dull Razor Filtering</i>	58
4.2.2. <i>Grayscale</i>	75
4.3. Ekstraksi Fitur	77
4.4. Klasifikasi	92
4.4.1. Tahapan <i>Training</i>	92
4.4.2. Tahapan <i>Testing</i>	95
4.5. Evaluasi	99







4.7	Ilustrasi Perhitungan Erosi pada Baris ke-1 Kolom ke-1	67
4.8	Ilustrasi Perhitungan Erosi pada Baris ke-1 Kolom ke-2	67
4.9	Ilustrasi Perhitungan Dilasi untuk Baris ke-1 Kolom ke-1	72
4.10	Ilustrasi Perhitungan Dilasi untuk Baris ke-1 Kolom ke-2	72
4.11	Cita <i>dermoscopy</i> Setelah di <i>Dull Razor Filtering</i>	74
4.12	Hasil <i>Grayscale</i>	77
4.13	Visualisasi Fitur Energi pada Setiap Kelas	87
4.14	Visualisasi Fitur Korelasi pada Setiap Kelas	88
4.15	Visualisasi Fitur Kontras pada Setiap Kelas	89
4.16	Visualisasi Fitur Homogenitas pada Setiap Kelas	90
4.17	Visualisasi Fitur Entropi pada Setiap Kelas	91
4.18	Confusion Matrix	100
4.19	Halaman Awal	106
4.20	Halaman Program	107





Salah satu kisah Nabi Ayyub a.s. yang mendapatkan ujian Allah Swt. berupa penyakit kulit selama 7 tahun, karena penyakit tersebut beliau dikucilkan oleh semua orang. Nabi Ayyub a.s. diberikan ujian fisik dan juga mental oleh Allah Swt. tetapi Nabi Ayyub a.s. selalu sabar dalam menjalani ujian dari Allah Swt. Karena kesabaran dan ketabahannya dalam menghadapi ujian beliau diberikan kesembuhan oleh Allah Swt. (Harmen, 2020). Dari salah satu kisah Nabi Ayyub a.s. dapat kita lihat bahwa penyakit kulit sudah ada sejak zaman kenabian. Pada masa modern ini begitu banyak sekali penyakit yang menyerang kulit seperti panu, kadas, kurap, bahkan kanker kulit.

Kanker kulit merupakan salah satu dari jenis kanker yang menyerang lapisan kulit, penyakit ini disebabkan karena adanya radiasi dari sinar *Ultra Violet* (UV), faktor genetik, dan toksin tertentu. Dari faktor-faktor tersebut menyebabkan sel-sel pada kulit mengalami perkembangan yang tidak normal dan dapat membahayakan. Sel kanker dapat meluas ke jaringan yang normal (Munthe, 2018). Sel kanker memiliki pertumbuhan secara abnormal terbagi menjadi dua diantaranya yaitu tumor jinak (*benign*) serta tumor ganas (*malignant*). Tumor jinak memiliki pertumbuhan cenderung lebih lambat dan bisa dihilangkan serta tidak dapat tumbuh lagi di tempat yang sama sehingga jarang menimbulkan kematian. Contoh dari tumor jinak yaitu tahi lalat. Sedangkan tumor ganas pertumbuhannya cenderung lebih cepat merambat ke jaringan tubuh dan bisa dihilangkan tetapi akan tumbuh lagi sehingga sering menimbulkan kematian. Contoh dari tumor ganas yaitu *melanoma*, *basal cell cancer*, dan *squamous cell cancer* (Alifa and Juniati, 2019).

*World Health Organization* (WHO) memperkirakan ada 132 ribu kasus *malignant melanoma* (kanker kulit yang paling berbahaya) setiap tahun, serta ada





area kulit yang terkena kanker kulit memiliki bentuk yang timbul dan tidak simetris atau bisa dikatakan abstrak. Kedua yaitu pada tepi kulit yang terkena kanker kulit tidak rata, biasanya memiliki tekstur cenderung kasar dan kabur. Ketiga yaitu memperhatikan warna pada area kulit yang dicurigai, pada area kulit yang terkena kanker kulit memiliki warna yang tidak rata, di mana terdapat banyak sekali perpaduan warna abu-abu, coklat, hitam, dan merah. Keempat yaitu memperhatikan diameter pada area kulit yang dicurigai, pada area kulit yang terkena kanker kulit memiliki diameter antara 6 milimeter hingga 0.25 inci. Dan yang terakhir yaitu memperhatikan perkembangan area kulit yang dicurigai, pada area kulit yang terkena kanker kulit akan terjadi perubahan setelah beberapa bulan sejak terjangkit. Metode tersebut biasanya disebut dengan metode “ABCDE” (Darmawan et al., 2019).

Deteksi dini menggunakan metode “ABCDE” tentunya kurang efisien, karena dapat menyebabkan *human error* dan memerlukan waktu yang cukup lama. Menurut Kerlikowske dalam penelitiannya menyebutkan bahwa tingkat kesalahan mendiagnosis yang disebabkan oleh *human error* dalam analisis citra medis mencapai 10-30%. Upaya untuk mengurangi kemungkinan adanya *human error*, dapat menggunakan sistem *Computer Aided Detection or Diagnosis* (CAD) dengan bantuan *Artificial Intelligence* (AI). CAD memiliki tiga tahap, yaitu *preprocessing*, ekstraksi fitur, dan tahap klasifikasi (Adyanti et al., 2017).

Tahapan *preprocessing* pada citra dilakukan guna untuk memperbaiki data citra dari noise (Bahri, 2012). Tahapan *preprocessing* yang sering digunakan dalam memperbaiki kualitas data *dermoscopy image* yaitu *dull razor filtering*, metode tersebut bertujuan untuk menghilangkan rambut pada lesi kulit. Berdasarkan penelitian yang dilakukan oleh Jana dkk akurasi yang diperoleh yaitu



85.3% (Jana et al., 2018). Setelah data citra diperbaiki, tahapan selanjutnya yaitu ekstraksi fitur.

Tahapan ekstraksi fitur memiliki tujuan yaitu mengambil informasi pada suatu data yang digunakan untuk proses selanjutnya. Metode ekstraksi fitur yang sering kali digunakan yaitu ekstraksi fitur dengan analisis tekstur. Tekstur sendiri merupakan karakteristik yang terdapat pada suatu daerah dalam citra sehingga karakteristiknya akan berulang pada daerah tersebut (Widyaningsih, 2017). Analisis tekstur yang digunakan berisi analisis secara statistik yang dihitung menggunakan distribusi statistik dan matriks intensitas piksel terhadap koordinat antar piksel (Hyperastuty, 2017). Metode ekstraksi fitur tekstur yang sering digunakan yaitu *Gray Level Co-Occurrence Matrix* (GLCM) (Punitha et al., 2018). Terdapat penelitian yang dilakukan oleh Priya dkk terkait klasifikasi tumor otak dengan membandingkan ekstraksi fitur tekstur orde satu dan orde dua atau GLCM. Dimana akurasi terbaik diperoleh dengan menggunakan ekstraksi fitur tekstur orde dua yaitu sebesar 85% (Priya et al., 2016). Pada permasalahan lain terdapat penelitian yang dilakukan oleh Wiryadinata dkk terkait pengklasifikasian 12 motif batik Banten dengan membandingkan dua metode ekstraksi fitur tekstur yaitu orde satu dan orde dua (GLCM). Penelitian tersebut mendapatkan akurasi terbaik sebesar 87.2% menggunakan ekstraksi fitur tekstur orde dua atau GLCM (Wiryadinata et al., 2019).

Setelah memperoleh nilai dari fitur-fitur pada citra, maka tahapan selanjutnya yaitu pengklasifikasian citra. Salah satu metode yang sering digunakan dalam beberapa penelitian dalam kasus klasifikasi yaitu *Kernel Extreme Learning Machine* (KELM). KELM merupakan pengembangan dari metode *Extreme Learning Machine* (ELM). Pada tahun 2010, Huang dkk memperkenalkan metode

yang memanfaatkan fungsi kernel pada metode ELM, metode tersebut yaitu KELM. Ide dari KELM yaitu pada metode SVM (Lu et al., 2020). Metode KELM memiliki satu *hidden layer* yang disebut dengan *single hidden layer feedforward neural network* (SLFN) (Himilda and Johan, 2021). Dibandingkan dengan metode lain metode KELM lebih unggul dalam waktu komputasinya (Adiza et al., 2020). Selain itu dalam kasus klasifikasi, metode KELM mampu mengklasifikasikan lebih dari dua kelas. Dari beberapa pemaparan keunggulan dari KELM, hal tersebut dapat dibuktikan dengan beberapa penelitian terdahulu yang menggunakan KELM dalam penelitiannya dan memperoleh hasil yang memuaskan.

Pertama yaitu penelitian yang dilakukan oleh Novitasari dkk terkait identifikasi kanker serviks menggunakan KELM, di mana pencapaian akurasi terbaik 95% menggunakan kernel gaussian dengan sudut lingkungan terbaik adalah  $45^\circ$  (Novitasari et al., 2020). Kedua yaitu penelitian yang dilakukan oleh Zhu dkk terkait klasifikasi gambar sonar dengan membandingkan beberapa metode yaitu SVM, ELM, KELM dan OSLEM. Hasil akurasi menggunakan KELM menunjukkan performa terbaik dengan nilai akurasi 91.35% (Zhu et al., 2017). Ketiga yaitu penelitian yang dilakukan oleh Winangun dkk terkait klasifikasi kelainan pada paru-paru menggunakan KELM, di mana kernel yang digunakan yaitu linear. Berdasarkan uji coba menunjukkan klasifikasi terbaik dicapai pada akurasi 96.97% (Winangun et al., 2020). Berdasarkan pemaparan dari latar belakang masalah dan penelitian terdahulu, maka penelitian ini memiliki maksud dan tujuan yaitu untuk mengklasifikasikan kanker kulit menggunakan metode GLCM dan KELM ke dalam tiga kelas yaitu *Melanoma*, *Atinic Keratosis*, dan *Nevus*.











*mammogram* (Badawy et al., 2017), dan tes darah (Cohen et al., 2018). Sel kanker sering terjadi karena disebabkan oleh narkoba, polusi yang terlalu banyak, dan bisa pula disebabkan karena gen. kanker memiliki beberapa jenis yaitu, kanker kulit, kanker payudara, kanker serviks, kanker paru-paru, kanker usus, kanker mulut, kanker prostat, dan lain-lainnya. Karena kulit adalah bagian tubuh terluar pada manusia tak heran jika kulit sangat rentan terhadap penyakit berbahaya seperti kanker kulit (Sholado, 2021).

## 2.2. Kanker Kulit

Kanker kulit merupakan salah satu jenis kanker yang paling umum terjadi di beberapa negara dan jumlah kasusnya meningkat setiap tahun (Oliveira et al., 2018). *Melanoma* adalah kanker kulit paling mematikan dibandingkan kanker kulit lainnya seperti *Bassal Cell Carcinoma* (BCC) dan *Squaomous Cell Carcinoma* (SCC). *Melanoma* menyerang sel pigmen kulit (Saba et al., 2019). *Melanoma* dapat disebabkan oleh berbagai faktor, termasuk warna kulit, predisposisi bintik-bintik, riwayat keluarga, dan paparan radiasi UV lingkungan. Risiko kematian akibat *melanoma* dapat diminimalkan dengan deteksi dini pada area kulit yang mencurigakan (Esteva et al., 2017). Contoh citra kanker kulit ditunjukkan pada Gambar 2.1.

































































































$$R_{10 \times 10} = \begin{bmatrix} 222 & 235 & 230 & 231 & 235 & 237 & 237 & 240 & 238 & 236 \\ 203 & 223 & 232 & 233 & 233 & 232 & 236 & 238 & 238 & 235 \\ 222 & 202 & 228 & 230 & 231 & 230 & 235 & 235 & 236 & 235 \\ 235 & 216 & 208 & 231 & 230 & 232 & 235 & 235 & 235 & 234 \\ 229 & 232 & 210 & 215 & 232 & 228 & 232 & 233 & 236 & 235 \\ 233 & 233 & 235 & 210 & 218 & 235 & 235 & 231 & 236 & 238 \\ 230 & 230 & 233 & 233 & 207 & 229 & 236 & 235 & 233 & 189 \\ 223 & 228 & 228 & 234 & 230 & 203 & 233 & 229 & 177 & 159 \\ 227 & 228 & 230 & 229 & 229 & 219 & 200 & 170 & 154 & 204 \\ 234 & 234 & 226 & 226 & 235 & 223 & 158 & 151 & 207 & 229 \end{bmatrix} \quad (4.4)$$

$$G_{10 \times 10} = \begin{bmatrix} 146 & 163 & 159 & 162 & 164 & 163 & 165 & 166 & 164 & 164 \\ 132 & 154 & 161 & 159 & 163 & 160 & 164 & 167 & 167 & 164 \\ 151 & 133 & 159 & 159 & 160 & 160 & 163 & 165 & 171 & 164 \\ 166 & 149 & 140 & 160 & 161 & 163 & 164 & 165 & 167 & 164 \\ 161 & 165 & 143 & 146 & 165 & 164 & 167 & 164 & 165 & 170 \\ 161 & 161 & 164 & 141 & 149 & 170 & 167 & 163 & 168 & 163 \\ 158 & 160 & 166 & 163 & 136 & 162 & 167 & 166 & 157 & 108 \\ 162 & 162 & 167 & 166 & 159 & 140 & 164 & 148 & 96 & 97 \\ 162 & 164 & 167 & 164 & 169 & 155 & 122 & 94 & 103 & 156 \\ 164 & 166 & 165 & 164 & 167 & 146 & 87 & 100 & 156 & 166 \end{bmatrix} \quad (4.5)$$

$$B_{10 \times 10} = \begin{bmatrix} 146 & 164 & 155 & 157 & 160 & 162 & 166 & 167 & 165 & 165 \\ 128 & 149 & 159 & 158 & 161 & 163 & 167 & 165 & 165 & 162 \\ 145 & 126 & 152 & 157 & 156 & 160 & 166 & 163 & 165 & 160 \\ 159 & 140 & 131 & 154 & 156 & 158 & 162 & 163 & 164 & 164 \\ 160 & 157 & 135 & 139 & 157 & 154 & 161 & 159 & 159 & 164 \\ 164 & 162 & 158 & 134 & 144 & 164 & 164 & 160 & 165 & 158 \\ 162 & 160 & 160 & 155 & 132 & 154 & 162 & 161 & 144 & 107 \\ 161 & 164 & 162 & 163 & 155 & 133 & 159 & 145 & 92 & 98 \\ 160 & 164 & 160 & 158 & 161 & 146 & 120 & 94 & 102 & 152 \\ 164 & 163 & 162 & 165 & 166 & 140 & 85 & 97 & 152 & 161 \end{bmatrix} \quad (4.6)$$

Langkah ketiga yaitu mengidentifikasi dan menghilangkan piksel rambut menggunakan *bottom-hat filtering* yang merupakan selisih dari *morphological closing operation* dengan citra asli di setiap lapisan warna. Pada proses *Morphological closing operation* akan dilakukan dilasi dan erosi. Pada proses perhitungan, digunakan lapisan *green* pada Matriks (4.5) sebagai sampel. *Morphological closing operation* yang digunakan membutuhkan *disk structuring element* (SE), di mana radius yang digunakan yaitu 3. Tampilan dari *disk structuring element* dengan radius 3 dapat dilihat pada Matriks (4.7).







$$D_{10 \times 10} = \begin{bmatrix} 163 & 163 & 164 & 164 & 165 & 167 & 171 & 171 & 171 & 171 \\ 166 & 166 & 166 & 164 & 165 & 167 & 171 & 171 & 171 & 171 \\ 166 & 166 & 166 & 165 & 167 & 167 & 171 & 171 & 171 & 171 \\ 166 & 166 & 166 & 170 & 170 & 170 & 171 & 171 & 171 & 171 \\ 166 & 166 & 166 & 170 & 170 & 170 & 171 & 171 & 171 & 171 \\ 167 & 167 & 167 & 170 & 170 & 170 & 170 & 170 & 170 & 170 \\ 167 & 167 & 169 & 170 & 170 & 170 & 170 & 170 & 170 & 170 \\ 167 & 167 & 169 & 170 & 170 & 170 & 170 & 170 & 168 & 168 \\ 167 & 167 & 169 & 169 & 169 & 169 & 169 & 167 & 167 & 166 \\ 167 & 167 & 169 & 169 & 169 & 169 & 169 & 166 & 166 & 166 \end{bmatrix} \quad (4.8)$$

Pada Matriks (4.8) dapat dilihat bahwa nilai setiap elemen pada matriks tersebut banyak mengalami perubahan jika dibandingkan dengan matriks awalnya. Proses berikutnya yaitu menghitung erosi menggunakan nilai dari hasil perhitungan dilasi pada Matriks (4.8). Proses erosi digunakan untuk mencari nilai minimal pada Matriks (4.8) sesuai dengan *mask* dari Matriks (4.7). Sama halnya dengan dilasi, proses erosi juga menggunakan *disk structuring element* dengan radius 3. Ilustrasi perhitungan erosi dapat dilihat pada Gambar 4.6 sampai dengan Gambar 4.8. Berikut merupakan proses perhitungan manual erosi menggunakan *disk structuring element* dengan radius 3:







Proses perhitungan tersebut dilakukan sampai seluruh piksel telah terhitung. Pada Gambar 4.6 piksel berwarna hijau menunjukkan nilai piksel hasil dilasi yang diperoleh pada proses sebelumnya, piksel berwarna putih menunjukkan *padding*. Penambahan *padding* digunakan untuk membantu proses erosi pada setiap piksel citra. *Padding* yang digunakan yaitu *zero padding*. Pada proses perhitungan nilai *padding* diabaikan, kita hanya membutuhkan nilai piksel pada citranya saja. *Padding* yang digunakan yaitu *zero padding*. Sedangkan Gambar 4.7 dan 4.8 menunjukkan ilustrasi perhitungan erosi pada koordinat (1,1) dan (1,2). Hasil erosi menggunakan *disk structuring element* dengan radius 3 dapat dilihat pada Matriks (4.9).

$$E_{10 \times 10} = \begin{bmatrix} 163 & 163 & 163 & 163 & 164 & 164 & 165 & 167 & 171 & 171 \\ 163 & 163 & 163 & 163 & 164 & 164 & 165 & 167 & 171 & 171 \\ 163 & 163 & 163 & 163 & 164 & 164 & 165 & 167 & 171 & 171 \\ 166 & 164 & 164 & 164 & 164 & 164 & 165 & 167 & 170 & 170 \\ 166 & 165 & 165 & 165 & 165 & 165 & 167 & 167 & 170 & 170 \\ 166 & 166 & 166 & 166 & 166 & 170 & 168 & 168 & 168 & 168 \\ 166 & 166 & 166 & 166 & 166 & 167 & 167 & 166 & 166 & 166 \\ 167 & 167 & 167 & 167 & 167 & 166 & 166 & 166 & 166 & 166 \\ 167 & 167 & 167 & 167 & 169 & 166 & 166 & 166 & 166 & 166 \\ 167 & 167 & 167 & 167 & 169 & 166 & 166 & 166 & 166 & 166 \end{bmatrix} \quad (4.9)$$

Pada Matriks (4.9) dapat dilihat bahwa nilai setiap elemen pada matriks tersebut banyak mengalami perubahan jika dibandingkan dengan Matriks (4.8). Matriks (4.9) merupakan hasil dari *morphological closing operation*. Proses



$$= \begin{bmatrix} 17 & 0 & 4 & 1 & 0 & 1 & 0 & 1 & 7 & 7 \\ 31 & 9 & 2 & 4 & 1 & 4 & 1 & 0 & 4 & 7 \\ 12 & 30 & 4 & 4 & 4 & 4 & 2 & 2 & 0 & 7 \\ 0 & 15 & 24 & 4 & 3 & 1 & 1 & 2 & 3 & 6 \\ 5 & 0 & 22 & 19 & 0 & 1 & 0 & 3 & 5 & 0 \\ 5 & 5 & 2 & 25 & 17 & 0 & 1 & 5 & 0 & 5 \\ 8 & 6 & 0 & 3 & 30 & 5 & 0 & 0 & 9 & 58 \\ 5 & 5 & 0 & 1 & 8 & 26 & 2 & 18 & 70 & 69 \\ 5 & 3 & 0 & 3 & 0 & 11 & 44 & 72 & 63 & 10 \\ 3 & 1 & 2 & 3 & 2 & 20 & 79 & 66 & 10 & 0 \end{bmatrix}$$

Hasil dari *bottom hat filtering* akan dibentuk matriks biner. Dimana hasil nilai piksel yang nilainya lebih dari 15 di isi dengan nilai 1, sedangkan yang kurang dari 15 di isi dengan nilai 0. Deteksi piksel rambut tersebut dapat dilihat pada Matriks (4.10). Tahapan Keempat yaitu mengganti piksel rambut dengan piksel dari kulit yang paling dekat menggunakan algoritma *Region of Interest* (ROI). Sebelum masuk pada algoritma ROI, hasil dari deteksi piksel rambut yaitu pada Matriks (4.10) perlu dilakukan dilasi terlebih dahulu. Ilustrasi perhitungan dilasi dapat dilihat pada Gambar 4.9 dan Gambar 4.10. Berikut merupakan proses perhitungan manual dilasi menggunakan *disk structuring element* dengan radius 3:



































Tabel 4.2 Ekstraksi Fitur GLCM pada Sudut 45°

Citra Ke-	<i>CON</i>	<i>CO</i>	<i>E</i>	<i>HM</i>	<i>ENT</i>
1	0.1751	0.9645	0.1436	0.9189	0.9422
2	0.1886	0.9499	0.1437	0.9158	0.6962
3	0.1172	0.9757	0.1737	0.9428	0.8113
⋮	⋮	⋮	⋮	⋮	⋮
408	0.1175	0.9472	0.2366	0.9414	0.8351

Tabel 4.3 Ekstraksi Fitur GLCM pada Sudut 90°

Citra Ke-	<i>CON</i>	<i>CO</i>	<i>E</i>	<i>HM</i>	<i>ENT</i>
1	0.1238	0.9748	0.1574	0.9431	0.9745
2	0.1408	0.9627	0.1567	0.9373	0.8351
3	0.0819	0.9830	0.1844	0.9597	0.9130
⋮	⋮	⋮	⋮	⋮	⋮
408	0.0882	0.9603	0.2500	0.9560	0.8960

Tabel 4.4 Ekstraksi Fitur GLCM pada Sudut 135°

Citra Ke-	<i>CON</i>	<i>CO</i>	<i>E</i>	<i>HM</i>	<i>ENT</i>
1	0.1719	0.9651	0.1443	0.9205	0.9422
2	0.1954	0.9481	0.1423	0.9132	0.6620
3	0.1103	0.9771	0.1760	0.9460	0.8351
⋮	⋮	⋮	⋮	⋮	⋮
408	0.1203	0.9459	0.2352	0.9400	0.8113

Terdapat beberapa cara untuk memvisualisasikan masing-masing fitur pada setiap kelas, salah satunya yaitu dengan menggunakan *boxplot*. Visualisasi nilai dari













#### 4.4. Klasifikasi

Pada penelitian ini menggunakan *Kernel Extreme Learning Machine* (KELM) untuk mengklasifikasi kanker kulit kedalam tiga kelas. Sebelum melakukan klasifikasi, tahapan yang perlu dilakukan yaitu membagi data *training* dan data *testing*. Jumlah keseluruhan data yang digunakan yaitu 408 data. Tahapan pembagian data yang digunakan yaitu menggunakan *k-fold cross validation* dengan  $k = 10$ . Karena 408 tidak habis dibagi 10 maka setiap  $k$  ada yang berisis 40, 41, dan 42. Sehingga total dari pasangan data *training* dan data *testing* yaitu [366, 42], [367, 41], dan [368, 40].

Pada tahapan *training* dan *testing* parameter yang digunakan yaitu fitur-fitur hasil dari GLCM. Metode KELM membutuhkan inialisasi seperti fungsi kernel, parameter kernel dan nilai koefisien regulasi. Parameter-parameter tersebut akan digunakan pada pada proses *training* dan *testing*. Inisialiasasi parameter yang digunakan yaitu fungsi kernel diataranya *Radial Basis Function* (RBF), linear, polynomial dan wavelet. Parameter kernel yaitu  $\sigma$  yang diperoleh dari standar deviasi pada data *training* dan  $d = 5$ , dan nilai koefisien regulasi ( $c$ ) = 0.1, 1, 10, 100, dan 1000. Pada proses perhitungan manual yang digunakan pada penelitian ini yaitu, menggunakan fitur-fitur hasil dari GLCM pada sudut  $0^\circ$  dan fungsi kernel yang digunakan yaitu linear.

##### 4.4.1. Tahapan *Training*

Proses perhitungan manual yang dipaparkan oleh peneliti menggunakan data *training* berjumlah 367. Berikut merupakan langkah-langkah perhitungan pada tahapan *training*:























Tabel 4.5 Tabel Evaluasi dari Hasil Uji Coba

SUDUT	KERNEL	C	ACC (%)	SEN (%)	SPE (%)
0	RBF	0.1	78.05	78.21	88.93
		1	92.68	92.86	96.30
		10	87.80	87.73	93.83
		100	87.80	87.55	93.87
		1000	82.93	82.78	91.45
	Linear	0.1	56.10	55.86	77.78
		1	75.61	75.82	87.74
		10	73.17	73.44	86.51
		100	73.17	73.81	86.55
		1000	78.05	78.57	88.98
	Polynomial	0.1	34.15	33.33	66.67
		1	34.15	33.33	66.67
		10	48.78	47.99	74.07
		100	75.61	75.64	87.74
		1000	68.29	68.50	84.08
	Wavelet	0.1	75.61	75.82	87.70
		1	92.68	92.86	96.30
		10	87.80	87.73	93.83
		100	85.37	85.16	92.64
		1000	85.37	85.35	92.64
45	RBF	0.1	85.37	85.71	92.68
		1	95.12	95.24	97.53
		10	82.93	83.15	91.36

		100	75.61	75.82	87.70
		1000	78.05	78.21	88.93
	Linear	0.1	63.41	63.92	81.61
		1	65.85	66.30	82.94
		10	68.29	68.86	84.17
		100	70.73	71.43	85.36
		1000	70.73	71.43	85.36
		Polynomial	0.1	34.15	33.33
	1		34.15	33.33	66.67
	10		65.85	66.30	82.85
	100		70.73	70.88	85.36
	1000		70.73	71.25	85.36
	Wavelet	0.1	85.37	85.53	92.64
		1	95.12	95.24	97.53
		10	80.49	80.77	90.17
		100	75.61	75.82	87.70
		1000	82.93	83.15	91.40
90	RBF	0.1	78.05	78.39	88.98
		1	85.37	85.71	92.59
		10	85.37	85.53	92.59
		100	78.05	78.39	88.89
		1000	82.93	83.15	91.36
	Linear	0.1	56.10	55.86	77.78
		1	68.29	68.68	84.17
		10	63.41	63.74	81.70

135		100	70.73	71.43	85.41
		1000	68.29	69.05	84.22
	Polynomial	0.1	34.15	33.33	66.67
		1	34.15	33.33	66.67
		10	48.78	47.99	74.07
		100	65.85	66.12	82.89
		1000	68.29	68.50	84.17
		Wavelet	0.1	75.61	75.82
	1		85.37	85.71	92.59
	10		82.93	83.15	91.36
	100		78.05	78.39	88.89
	1000		85.37	85.35	92.59
	RBF	0.1	82.93	83.15	91.45
		1	90.24	90.29	95.06
		10	80.49	80.59	90.12
		100	80.49	80.59	90.12
		1000	85.37	85.35	92.59
	Linear	0.1	60.98	61.36	80.38
		1	68.29	68.50	84.08
		10	70.73	71.43	85.41
100		70.73	71.25	85.32	
1000		70.73	71.25	85.32	
Polynomial	0.1	34.15	33.33	66.67	
	1	34.15	33.33	66.67	
	10	65.85	66.30	82.85	

		100	68.29	68.50	84.13
		1000	65.85	66.48	82.94
	Wavelet	0.1	87.80	87.91	93.87
		1	90.24	90.29	95.06
		10	80.49	80.59	90.12
		100	80.49	80.59	90.12
		1000	85.37	85.35	92.59

Berdasarkan Tabel 4.5 dapat dilihat bahwa hasil akurasi terbaik di peroleh dengan menggunakan ekstraksi fitur GLCM pada sudut  $45^\circ$ , kernel yang digunakan pada metode KELM yaitu kernel RBF dan wavelet, serta nilai regulasi ( $c$ )=1. Di mana kedua model tersebut menghasilkan nilai akurasi, sensitivitas, dan spesifitas yang sama yaitu 95.12%, 95.24%, dan 97.53%. Sehingga dapat disimpulkan bahwa metode KELM mampu mengklasifikasikan citra kanker kulit tiga kelas dengan baik. Namun, terdapat penelitian klasifikasi dengan data yang berbeda, memaparkan bahwa akurasi KELM kurang baik jika dibandingkan dengan perkembangan metode KELM ataupun metode lainnya.

Pertama yaitu penelitian yang dilakukan oleh Shifei Ding dkk terkait klasifikasi data UCI yaitu data ionosfer dengan membandingkan metode dasar ELM, KELM, dan juga MLELM. Akurasi yang dihasilkan menggunakan Basic ELM, KELM, dan MLELM adalah 97.35%, 97.35%, dan 98.01%, sehingga dapat dikatakan bahwa metode MLELM lebih baik daripada metode KELM (Ding et al., 2015). Kedua yaitu penelitian yang dilakukan oleh Zhu dkk terkait klasifikasi gambar sonar dengan membandingkan metode KELM dan PCA-KELM. Akurasi yang dihasilkan menggunakan PCA-KELM lebih unggul dibandingkan dengan KELM biasa. Akurasi yang dihasilkan PCA-KELM sebesar 93.27%, sedangkan













membenci seseorang yang menyesali suatu hal tanpa ada memikirkan solusi terkait masalah yang dihadapi. Hadis tersebut juga diperkuat dengan kaidah fikih yang berbunyi sebagai berikut:

إِذَا تَزَاوَعَتِ الْمَصَالِحُ قُدِّمَ الْأَعْلَى مِنْهَا وَإِذَا تَزَاوَعَتِ الْمَفَاسِدُ قُدِّمَ الْأَخْفُ مِنْهَا

Artinya: Jika ada beberapa kemaslahatan bertabrakan, maka maslahat yang lebih besar (lebih tinggi) harus didahulukan. Dan jika ada beberapa mafsadah (bahaya, kerusakan) bertabrakan, maka yang dipilih adalah mafsadah yang paling ringan.

Kaidah fikih tersebut menjelaskan bahwasannya seorang muslim sangat dianjurkan untuk lebih mengutamakan kemaslahatan yang lebih besar dari pada kemaslahatan yang lebih kecil. Contohnya penyakit kanker kulit yang merupakan topik dari penelitian ini, menghindari penyakit ini lebih diutamakan karena dapat memeberikan kemaslahatan yang besar yaitu kemaslahatan untuk diri sendiri dan juga anak turun kita. Karena penyakit kanker merupakan salah satu penyakit dapat yang diturunkan secara genetik. Melakukan suatu pencegahan kepada diri sendiri dapat mengurangi resiko anak turun kita terkena kanker. Terdapat beberapa cara untuk menghindari penyakit ini yaitu dengan membiasakan pola hidup sehat, menghindari paparan sinar matahari secara langsung, menggunakan tabir surya saat keluar ruangan, serta melakukan deteksi dini terkait penyakit kanker kulit.



menghasilkan nilai minimal = 0.0641, maksimal = 0.1650, median = 0.1207. Sedangkan kelas *nevus* menghasilkan nilai minimal = 0.0300, maksimal = 0.1265, median = 0.0781. Pada fitur homogenitas kelas *melanoma* menghasilkan nilai minimal = 0.9235, maksimal = 0.9842, median = 0.9584. Kelas *actinic keratosis* menghasilkan nilai minimal = 0.9199, maksimal = 0.9683, median = 0.9404. Sedangkan kelas *nevus* menghasilkan nilai minimal = 0.9375, maksimal = 0.9858, median = 0.9623. Dan fitur entropi kelas *melanoma* menghasilkan nilai minimal = 0.2001, maksimal = 1, median = 0.9483. Kelas *actinic keratosis* menghasilkan nilai minimal = 0.7261, maksimal=1, median = 0.9745. Sedangkan kelas *nevus* menghasilkan nilai minimal = 0.2006, maksimal = 1, median = 0.9652. Dari hasil ekstraksi fitur tersebut dapat disimpulkan bahwa, seluruh fitur dari kelas *nevus* beririsan dengan fitur kelas *melanoma*. Sedangkan pada fitur energi dan entropi nilai ketiga kelas tersebut saling beririsan. Oleh karenanya dapat disimpulkan bahwa dalam mengklasifikasikan kanker kulit pada kelas *melanoma*, *actinic keratosis*, dan *nevus* tidak bisa diklasifikasikan secara langsung, sehingga membutuhkan metode klasifikasi yang dapat mempelajari pola dengan baik seperti *Neural Network*.

2. Klasifikasi kanker kulit menggunakan metode KELM menunjukkan hasil yang baik. Hasil akurasi terbaik diperoleh dengan menggunakan orientasi sudut  $45^\circ$ , kernel yang digunakan yaitu kernel RBF dan wavelet, serta nilai regulasi ( $c = 1$ ). Dimana kedua model tersebut menghasilkan nilai akurasi sensitivitas dan spesifitas yang sama yaitu 95.12%, 95.24% dan 97.53%. Sehingga dapat disimpulkan bahwa metode KELM mampu mengklasifikasikan citra kanker kulit tiga kelas dengan baik.







- Arofi, Z. (2021). Optimis di Tengah Pandemi: Cara Rasulullah Menyelesaikan Masalah Pandemi. *Community Empowerment*, 6(1):91–98.
- Asad, A. (2021). Menyikapi Musibah dalam Pandangan Islam. *TAZKIYA*, 10(1).
- Badawy, S. M., Hefnawy, A. A., Zidan, H. E., and GadAllah, M. T. (2017). Breast cancer detection with mammogram segmentation: a qualitative study. *International Journal of Advanced Computer Science and Application*, 8(10).
- Bahri, R. S. (2012). Perbandingan algoritma template matching dan feature extraction pada optical character recognition. *KOMPUTA: Jurnal Komputer dan Informatika*, 1(1).
- Batubara, N. P., Widiyanto, D., and Chamidah, N. (2020). Klasifikasi rempah rimpang berdasarkan ciri warna rgb dan tekstur glcm menggunakan algoritma naive bayes. *Informatik: Jurnal Ilmu Komputer*, 16(3):156–163.
- Cohen, J. D., Li, L., Wang, Y., Thoburn, C., Afsari, B., Danilova, L., Douville, C., Javed, A. A., Wong, F., and Mattox, A. (2018). Detection and localization of surgically resectable cancers with a multi-analyte blood test. *Science*, 359(6378):926–930.
- Cuocolo, R., Stanzione, A., Ponsiglione, A., Romeo, V., Verde, F., Creta, M., La Rocca, R., Longo, N., Pace, L., and Imbriaco, M. (2019). Clinically significant prostate cancer detection on MRI: a radiomic shape features study. *European journal of radiology*, 116:144–149.
- Darmawan, C. C., Jo, G., Montenegro, S. E., Kwak, Y., Cheol, L., Cho, K. H., and Mun, J.-H. (2019). Early detection of acral melanoma: A review of clinical,



- dermoscopic, histopathologic, and molecular characteristics. *Journal of the American Academy of Dermatology*, 81(3):805–812.
- Ding, S., Zhang, N., Xu, X., Guo, L., and Zhang, J. (2015). Deep extreme learning machine and its application in EEG classification. *Mathematical Problems in Engineering*, 2015.
- El-Regaily, S. A., Salem, M. A., Abdel Aziz, M. H., and Roushdy, M. I. (2018). Survey of computer aided detection systems for lung cancer in computed tomography. *Current Medical Imaging*, 14(1):3–18.
- Esteva, A., Kuprel, B., Novoa, R. A., Ko, J., Swetter, S. M., Blau, H. M., and Thrun, S. (2017). Dermatologist-level classification of skin cancer with deep neural networks. *nature*, 542(7639):115–118.
- Fathunnisa, N. (2019). Musibah dan kalimat istirja' perspektif tafsir corak kalam dan sufi (kajian surah al-baqarah ayat 155-157).
- Fikriya, Z. A., Irawan, M. I., and Soetrisno, S. (2017). Implementasi Extreme Learning Machine untuk Pengenalan Objek Citra Digital. *Jurnal Sains dan Seni ITS*, 6(1):A1–A6.
- Foeady, A. Z. (2019). Sistem klasifikasi kanker kulit berdasarkan data citra dermoscopic dengan menggunakan metode deep extreme learning machine. page 144.
- Hanseliani, R. and Adi, C. K. (2019). Klasifikasi berbagai jenis jamur layak konsumsi dengan metode backpropagation. *MEANS (Media Informasi Analisa dan Sistem)*, 4(2):200–209.

- Haq, D. Z. (2021). Klasifikasi Citra Kanker Kulit Menggunakan Convolutional Neural Network Model Googlenet.
- Harmen, H. H. (2020). Pikiran Positif Ala Nabi Ayyub as. *Proyeksi: Jurnal Psikologi*, 15(1):22–34.
- Himilda, R. and Johan, R. A. (2021). Klasifikasi Jenis Kendaraan Menggunakan Metode Extreme Learning Machine ( Vehicle Classification Using Extreme Learning Machine Method ). *JTIM : Jurnal Teknologi Informasi dan Multimedia*, 2(4):237–243.
- Hyperastuty, A. S. (2017). Artificial Neural Network Dalam Menentukan Grading Histopatologi Kanker Payudara. *Jurnal Biosains Pascasarjana*, 19(2):176–188.
- Jahed Armaghani, D., Asteris, P. G., Askarian, B., Hasanipanah, M., Tarinejad, R., and Huynh, V. V. (2020). Examining hybrid and single SVM models with different kernels to predict rock brittleness. *Sustainability*, 12(6):2229.
- Jamal, R. (2016). Maqashid Al-Syariah dan Relevansinya dalam Konteks Kekinian. *Jurnal Ilmiah Al-Syir'ah*, 8(1).
- Jana, E., Subban, R., and Saraswathi, S. (2018). Research on Skin Cancer Cell Detection Using Image Processing. *2017 IEEE International Conference on Computational Intelligence and Computing Research, ICCIC 2017*, pages 1–8.
- Joshi, A. V. (2020). *Machine learning and artificial intelligence*. Springer.
- Katanskiy, A. (2019). Skin Cancer ISIC — Kaggle.
- Kiani, K. and Sharafat, A. R. (2011). E-shaver: An improved DullRazor® for digitally removing dark and light-colored hairs in dermoscopic images. *Computers in biology and medicine*, 41(3):139–145.

- Kuhn, M. and Johnson, K. (2013). *Applied predictive modeling*, volume 26. Springer.
- Lattoofi, N. F., Al-Sharuee, I. F., Kamil, M. Y., Obaid, A. H., Mahidi, A. A., and Omar, A. A. (2019). Melanoma skin cancer detection based on ABCD rule. In *2019 First International Conference of Computer and Applied Sciences (CAS)*, pages 154–157. IEEE.
- Li, B., Rong, X., and Li, Y. (2014). An improved kernel based extreme learning machine for robot execution failures. *The Scientific World Journal*, 2014.
- Lu, J., Huang, J., and Lu, F. (2020). Kernel extreme learning machine with iterative picking scheme for failure diagnosis of a turbofan engine. *Aerospace Science and Technology*, 96:105539.
- Maftukhah, U., Amiroch, S., and Pradana, M. S. (2020). Implementasi Algoritma Greedy Pada Pewarnaan Wilayah Kecamatan Sukodadi Lamongan. *Unisda Journal of Mathematics and Computer Science (UJMC)*, 6(2):29–38.
- Mahardika, F., Purwanto, K. A., and Saputra, D. I. S. (2017). Implementasi Metode Waterfall pada Proses Digitalisasi Citra Analog. *VOLT: Jurnal Ilmiah Pendidikan Teknik Elektro*, 2(1):63–72.
- Mahesh, B. (2020). Machine Learning Algorithms-A Review. *International Journal of Science and Research (IJSR).[Internet]*, 9:381–386.
- Maulana, L. (2020). Ujian dalam Al-Qur'an (Studi Komparatif Tafsir Ibnu Katsir Dan M. Quraish Shihab Atas Surat Al Baqarah Ayat 155-157).
- Maulani, I. R. (2012). Aspek molekuler pada metastasis sel kanker. *Makassar Dental Journal*, 1(1).

- Mayo Clinic (2021a). Actinic keratosis - Symptoms and causes - Mayo Clinic.
- Mayo Clinic (2021b). Skin cancer - Symptoms and causes - Mayo Clinic.
- Miladitiya, A. (2018). Sensitivitas Dan Spesifisitas Lingkar Pinggang Dalam Mengidentifikasi Kelebihan Berat Badan Dan Obesitas Pada Wanita Dewasa. *Interest: Jurnal Ilmu Kesehatan*, 7(1):22–28.
- Miller, K. D., Fidler-Benaoudia, M., Keegan, T. H., Hipp, H. S., Jemal, A., and Siegel, R. L. (2020). Cancer statistics for adolescents and young adults, 2020. *CA: a cancer journal for clinicians*, 70(6):443–459.
- Munthe, T. L. D. (2018). Klasifikasi Citra Kanker Kulit Berdasarkan Tingkat Keganasan Kanker Pada Melanosit Menggunakan Deep Convolutional Neural Network (DCNN).
- Murphy, A. E. and Charnay-Sonnek, F. (2019). Basis of Carcinogenesis. In *Principle of Nursing in Oncology*, pages 1–17. Springer.
- Ningsih, S. A. (2017). Potensi gen nonstruktural (NS) virus zika sebagai sumber vaksin demam zika secara in silico.
- Novitasari, D. C. R., Asyhar, A. H., Thohir, M., Arifin, A. Z., Mu'jizah, H., and Foeady, A. Z. (2020). Cervical Cancer Identification Based Texture Analysis Using GLCM-KELM on Colposcopy Data. *2020 International Conference on Artificial Intelligence in Information and Communication, ICAIIC 2020*, pages 409–414.
- Oliveira, R. B., Papa, J. P., Pereira, A. S., and Tavares, J. M. R. S. (2018). Computational methods for pigmented skin lesion classification in images: review and future trends. *Neural Computing and Applications*, 29(3):613–636.

- Phiadelvira, B. Y. (2021). Klasifikasi Kanker Serviks berdasarkan Citra Kolposkopi menggunakan Convolutional Neural Network (CNN) Model Alexnet.
- Priya, K. M., Kavitha, S., and Bharathi, B. (2016). Brain tumor types and grades classification based on statistical feature set using support vector machine. In *2016 10th International Conference on Intelligent Systems and Control (ISCO)*, pages 1–8. IEEE.
- Punitha, S., Amuthan, A., and Joseph, K. S. (2018). Benign and malignant breast cancer segmentation using optimized region growing technique. *Future Computing and Informatics Journal*, 3(2):348–358.
- Ren, Q., Li, M., and Han, S. (2019). Tectonic discrimination of olivine in basalt using data mining techniques based on major elements: a comparative study from multiple perspectives. *Big Earth Data*, 3(1):8–25.
- Rifin, M. (2019). Karakteristik Syukur dalam Al-Qur'an (Kisah Nabi Ayyub dan Sulaiman).
- Risdayanti, R. and Herlina, N. (2020). Hubungan Antara Faktor Psikososial dan Faktor Lingkungan dengan Kualitas Hidup Pasien Kanker yang Menjalani Kemoterapi di RSUD Abdul Wahab Sjahranie Samarinda. *Borneo Student Research (BSR)*, 1(3):2118–2129.
- Ritonga, K. (2020). Sistem Pakar Mendiagnosa Penyakit Kanker Kulit Melanoma Menggunakan Metode Case Based Reasoning. *Informasi dan Teknologi Ilmiah (INTI)*, 7(3):247–252.
- Roeti, R. (2020). Segmentasi citra Medis Magnetic Resonance Imaging (MRI) dengan menggunakan metode Clustering di dalam Algoritma Fuzzy C-Means.

- Ruuska, S., Hämäläinen, W., Kajava, S., Mughal, M., Matilainen, P., and Mononen, J. (2018). Evaluation of the confusion matrix method in the validation of an automated system for measuring feeding behaviour of cattle. *Behavioural Processes*, 148:56–62.
- Saba, T., Khan, M. A., Rehman, A., and Marie-Sainte, S. L. (2019). Region Extraction and Classification of Skin Cancer: A Heterogeneous framework of Deep CNN Features Fusion and Reduction. *Journal of Medical Systems*, 43(9).
- Sakai, Y., Takemoto, S., Hori, K., Nishimura, M., Ikematsu, H., Yano, T., and Yokota, H. (2018). Automatic detection of early gastric cancer in endoscopic images using a transferring convolutional neural network. In *2018 40th Annual International Conference of the IEEE Engineering in Medicine and Biology Society (EMBC)*, pages 4138–4141. IEEE.
- Saroja, B. and SelwinMich Priyadharson, A. (2019). Adaptive pillar K-means clustering-based colon cancer detection from biopsy samples with outliers. *Computer Methods in Biomechanics and Biomedical Engineering: Imaging and Visualization*, 7(1):1–11.
- Sebastian V, B., Unnikrishnan, A., and Balakrishnan, K. (2012). Gray level co-occurrence matrices: generalisation and some new features. *arXiv preprint arXiv:1205.4831*.
- Sholado, R. M. (2021). LKP: Deteksi Kanker Kulit Menggunakan Deep Learning.
- Situmorang, G. T., Widodo, A. W., and Rahman, M. A. (2019). Penerapan Metode Gray Level Cooccurrence Matrix (GLCM) untuk Ekstraksi Ciri pada Telapak Tangan. *Jurnal Pengembangan Teknologi Informasi dan Ilmu Komputer e-ISSN*, 2548:964X.

- Srividya, T. D. and Arulmozhi, V. (2018). Feature selection classification of skin cancer using genetic algorithm. In *2018 3rd International conference on communication and electronics systems (ICCES)*, pages 412–417. IEEE.
- Sudaryanto, A. (2018). Inpanting Citra Biner Menggunakan Metode Modus Matrik Metode. *03(01):22–26*.
- Sulistiani, S. L. (2019). Analisis Maqashid Syariah Dalam Pengembangan Hukum Industri Halal di Indonesia. *Law and Justice*, 3(2):91–97.
- Sumiyati, S. (2018). Penggunaan Ayat-ayat Alquran Sebagai Pengobatan (Studi Living Quran di Pesantren Riyadhul Wildan Desa Gabus Kecamatan Kopo Kabupaten Serang).
- Surono, R. S. L. (2019). Tinjauan hukum pidana Islam dan hukum positif terhadap penjatuhan sanksi pidana dalam tindak pidana Dumping Limbah B3: studi Putusan Mahkamah Agung Nomor: 526/Pid. Sus-LH/2017/PN Trg.
- Surya, R. A., Fadlil, A., and Yudhana, A. (2017). Ekstraksi Ciri Metode Gray Level Co-Occurrence Matrix (GLCM) dan Filter Gabor untuk Klasifikasi citra Batik Pekalongan. *Jurnal Informatika: Jurnal Pengembangan IT*, 2(2):23–26.
- Utomo, D. P. and Mesran, M. (2020). Analisis Komparasi Metode Klasifikasi Data Mining dan Reduksi Atribut Pada Data Set Penyakit Jantung. *Jurnal Media Informatika Budidarma*, 4(2):437–444.
- Widodo, R., Widodo, A. W., and Supriyanto, A. (2018). Pemanfaatan Ciri Gray Level Co-Occurrence Matrix (GLCM) Citra Buah Jeruk Keprok (*Citrus reticulata* Blanco) untuk Klasifikasi Mutu. *Jurnal Pengembangan Teknologi Informasi dan Ilmu Komputer e-ISSN*, 2548:964X.



- Widyaningsih, M. (2017). Identifikasi Kematangan Buah Apel Dengan Gray Level Co-Occurrence Matrix (GLCM). *Jurnal saintekom*, 6(1):71–88.
- William, W., Harahap, M., Sihombing, J. P., and Lubis, A. R. (2020). Deblurring Citra Dengan Metode Lucy Richardson Deconvolution. *JURNAL TEKNOLOGI DAN ILMU KOMPUTER PRIMA (JUTIKOMP)*, 3(1):441–454.
- Winangun, P. P., Widyantara, I. M. O., and Hartati, R. S. (2020). Pendekatan Diagnostik Berbasis Extreme Learning Machine dengan Kernel Linear untuk Mengklasifikasi Kelainan Paru-Paru. *Majalah Ilmiah Teknologi Elektro*, 19(1):83.
- Wiryadinata, R., Adli, M. R., Fahrizal, R., and Alfanz, R. (2019). Klasifikasi 12 Motif Batik Banten Menggunakan Support Vector Machine. *Jurnal EECCIS*, 13(1):60–64.
- World Health Organization (2020). The World Health Organization recommends that no person under 18 should use a sunbed.
- Ya'cub, M. (2020). Peran Pendidikan Islam Dalam Menghadapi Ujian Covid 19 (Studi Kritis Adanya Pandemi Covid 19). *CENDEKIA: Jurnal Studi Keislaman*, 6(1):114–132.
- Zhao, D., Huang, C., Wei, Y., Yu, F., Wang, M., and Chen, H. (2017). An effective computational model for bankruptcy prediction using kernel extreme learning machine approach. *Computational Economics*, 49(2):325–341.
- Zhu, M., Song, Y., Guo, J., Feng, C., Li, G., Yan, T., and He, B. (2017). PCA and Kernel-based extreme learning machine for side-scan sonar image classification.



